

Жилин П.А., Конюшевская Р.И., Пальмов В.А., Чирташкий Р.В.  
К расчету напряженно-деформированного состояния разрядных  
камер установок токамак. Препринт ОМ-0550. Л., НИИЭФА, 1982,  
13 стр., с ил., цена 10 коп.

Излагается алгоритм численного расчета на ЭВМ напряженно-  
деформированного состояния оболочек вращения при осесиммет-  
ричных нагрузках. Краевая задача сводится к ряду задач.  
Построение начальных задач ведется методом Рунге-Кутта. Исп-  
ользуется метод дискретной ортогонализации, предложенный  
С.К.Годуновым. Конкретный расчет проведен для разрядной ка-  
меры термоядерной установки, состоящей из цилиндрического,  
конического и горизонтального участков. Проведен сравнитель-  
ный анализ напряженно-деформированного состояния гладкой и  
подкрепленной меридиональными ребрами камер.

## О ГЛАВЛЕНИЕ

1. Каноническая система уравнений, описывающих осесиммет- ричную деформацию ортотропных оболочек вращения . . . . .	1
2. Численный метод решения . . . . .	5
3. К вопросу о реализации численного метода на ЭВМ . . . . .	6
4. О достоверности численной реализации метода . . . . .	8
5. Расчет разрядных камер установок токамак . . . . .	10
<b>Л и т е р а т у р а . . . . .</b>	<b>13</b>

$$\frac{d}{ds}(\sqrt{\lambda}H_e) - T_a + \sqrt{\lambda}q_{re} = 0 , \quad (1)$$

$$\frac{d}{ds}(\sqrt{\lambda}H_z) + \sqrt{\lambda}q_{rz} = 0 ,$$

$$\frac{d}{ds}(\sqrt{\lambda}M_r) - M_a \cos \theta - \sqrt{\lambda}N_r = 0 ,$$

где  $s$  - длина дуги меридиана;  $\sqrt{\lambda}$  - радиус параллельного кру-  
га;  $\theta$  - угол, составленный нормаль к срединной поверхности  
и положительным направлением оси вращения;  $H_e$ ,  $H_z$  - радиаль-  
ное и осевое усилия;  $M_r$ ,  $M_a$  - меридиональный и окружной из-  
гибающие моменты;  $T_a$ ,  $N_r$  - окружное и перерезывающее усилия;  
 $q_{re}$ ,  $q_{rz}$  - радиальная и осевая составляющие распределенной  
внешней нагрузки.

Соотношения упругости для оболочки, подкрепленной меридио-  
нальными ребрами, представляют собой частный случай напряжений,  
принятых в работе [2] :

$$T_r = B_1 \varepsilon_r + B_2 \mu \varepsilon_z + R_1 \alpha_r ,$$

$$T_a = B_3 \varepsilon_z + B_4 \mu \varepsilon_r + R_2 \alpha_z ,$$

$$M_r = D_1 \alpha_r + D_2 \mu \alpha_z + R_3 \varepsilon_r ,$$

## I. КАНОНИЧЕСКАЯ СИСТЕМА УРАВНЕНИЙ, ОПИСЫВАЮЩИХ ОСЕСИММЕТРИЧНУЮ ДЕФОРМАЦИЮ ОРТОТРОПНЫХ ОБОЛОЧЕК ВРАЩЕНИЯ

Одним из конструктивных вариантов разрядных камер установок  
токамак является замкнутая горообразная оболочка, подкрепленная  
меридиональными ребрами, внутри которой вакуум. Под действием  
атмосферного давления и пондеромоторных нагрузок в камере воз-  
никает сложное напряженно-деформированное состояние. Его ана-  
лиз - цель настоящей работы. Дифференциальные уравнения равно-  
весия оболочки имеют вид [1] :

$$\text{здесь } D = \frac{E h^3}{12(1-\mu^2)} ; \quad B = \frac{E h}{1-\mu^2} ;$$

$$D_1 = D + \frac{E_p I_p}{\ell} ; \quad B_1 = B + \frac{E_p F_p}{\ell} ;$$

$$A_1 = \frac{E_p S_p}{\ell} ; \quad \ell = \frac{2\pi r}{n} ;$$

$\delta_1, \delta_2$  - относительные удлинения срединной поверхности в меридиональном и окружном направлениях;  $\alpha_1, \alpha_2$  - изгибные деформации;  $h$  - толщина оболочки;  $E$  - модуль упругости материала оболочки;  $\mu$  - коэффициент Гуассона;  $E_p$  - модуль упругости материала ребра;  $F_p$  - площадь поперечного сечения ребра относительно оси, проходящей через срединную поверхность оболочки;  $I_p$  - статический момент инерции поперечного сечения ребра относительно этой же оси;  $\ell$  - расстояние между ребрами;  $n$  - количество ребер;  $T_1$  - меридиональное усилие. Деформации выражаются через перемещения формулами [1] :

$$\begin{aligned} \delta_1 &= \frac{du}{ds} + \frac{w}{R_1} ; \quad \delta_2 = \frac{\Delta \theta}{r} , \\ \alpha_1 &= \frac{dw}{ds} ; \quad \alpha_2 = -\frac{w \cos \theta}{r} , \end{aligned}$$

$$u = \Delta_e \cos \theta - \Delta_z \sin \theta ,$$

где  $u, w$  - меридиональное и нормальное перемещения;

$\Delta_e$  - угол поворота нормали при деформации;  $R_1$  - радиус кривизны меридиана;  $\Delta_z$  - радиальное и осевое перемещения.

Вспомогательные величины, входящие в описанную систему (1) - (3), выражаются через основные ( $\Delta_e, \Delta_z, u_1, \Delta_\theta, \Delta_\phi, M_1$ ) следующим образом:

$$\begin{aligned} T_1 &= H_e \cos \theta - H_z \sin \theta , \quad N_1 = H_e \sin \theta + H_z \cos \theta , \\ \delta_1 &= \frac{1}{D_1 B_1 - A_1^2} \left[ D_1 T_1 - M_1 A_1 - \mu A_1 D \frac{u_1 \cos \theta}{r} - \mu B D_1 \frac{\Delta_\theta}{r} \right] , \\ \alpha_1 &= \frac{1}{D_1} \left( M_1 - \mu D \alpha_2 - A_1 \varepsilon_1 \right) , \end{aligned} \quad (4)$$

$$w = \Delta_e \sin \theta + \Delta_z \cos \theta .$$

Меридиональные и окружные напряжения вычисляются по формулам:

$$\begin{aligned} \sigma_1^p &= \frac{\ell(T_1 - \mu M_1)}{F - \mu S_p} , \quad \sigma_2^p = \frac{T_2}{h} , \\ \sigma_1^u &= z \frac{\ell(M_1 - \beta T_1)}{I - \mu S_p} , \quad \sigma_2^u = \frac{\beta M_2}{h^2} , \end{aligned} \quad (5)$$

где  $\sigma_1^p, \sigma_2^p$  ( $\sigma_1^u, \sigma_2^u$ ) - меридиональные и окружные напряжения растяжения (изгиба) соответственно;  $F$ ,  $S$ ,  $I$ ,  $\mu = \frac{S}{T}$ ,  $\beta = \frac{S}{F}$  - характеристики сечения  $S = \text{const}$ ,

$$F = \int_{\Omega} d\Omega , \quad S = \int_{\Omega} z d\Omega , \quad I = \int_{\Omega} z^2 d\Omega ,$$

$d\Omega$  - элемент площади сечения.

Напряжения растяжения  $\sigma_1^p$ , одинаковы в ребре и оболочке.

При вычислении напряжений изгиба  $\sigma_1^u$ , в оболочке в формуле для  $\sigma_1^u$  следует положить  $z = \pm \frac{h}{2}$  ( $h$  - толщина оболочки), в то время как для  $\sigma_2^u$  в ребре нужно принять  $z = Z_{\max}$ . В результате некоторых преобразований системе уравнений (1)-(3) можно придать следующий вид:

## 2. ЧИСЛЕННЫЙ МЕТОД РЕШЕНИЯ

$$\begin{aligned}\frac{d\Delta_e}{ds} &= \varepsilon_1 \cos \theta + v_1 \sin \theta, \\ \frac{d\Delta_z}{ds} &= -\varepsilon_1 \sin \theta + v_1 \cos \theta,\end{aligned}$$

$$\begin{aligned}\frac{dv_1}{ds} &= -\mathbf{x}_1, \\ \frac{d(\sqrt{\lambda}H_e)}{ds} &= B\left(\frac{\Delta_e}{\sqrt{\lambda}} + \mu\varepsilon_1\right) - \sqrt{\lambda}q_{re},\end{aligned}\tag{6}$$

$$\begin{aligned}\frac{d(\sqrt{\lambda}H_z)}{ds} &= -\sqrt{\lambda}q_z, \\ \frac{d(\sqrt{\lambda}M_1)}{ds} &= \sqrt{\lambda}H_e \sin \theta + \sqrt{\lambda}H_z \cos \theta + D \cos \theta (\mu \mathbf{x}_1 + \mathbf{x}_2).\end{aligned}$$

Такая форма записи удобна для проведения численных расчетов.

Если в системе (6) положить  $F_p = I_p = S_p = 0$ , то получится система, описываемая напряженно-деформированное состояние изотропной оболочки.

Все рассматриваемые камеры имеют плоскость симметрии, перпендикулярную оси вращения. Поэтому расчет производится на половине интервала изменения аргумента  $s$ , а граничные условия определяются следующим образом

$$\left. \begin{aligned}v_1 &= 0 \\ H_e &= 0 \\ \Delta z &= 0\end{aligned}\right\} \text{при } \theta = \pm \frac{\pi}{2}.\tag{7}$$

Для удобства дальнейшего изложения перейдем к матричной записи исходной задачи. Систему, эквивалентную системе (6), где все величины представлены в безразмерном виде, можно записать в форме

$$\frac{dY}{ds} = X(\bar{s})Y(\bar{s}) + P(\bar{s}), \quad (\bar{s}_0 < \bar{s} < \bar{s}_N)\tag{8}$$

здесь  $\bar{s}$  – безразмерное значение длины дуги меридиана;  $P(\bar{s})$  – вектор внешних воздействий;  $X(\bar{s})$  – матрица коэффициентов системы.

Границные условия представляются в виде

$$G_1 Y = b_1 \quad \text{при } \bar{s} = \bar{s}_0, \tag{9}$$

$$G_2 Y = b_2 \quad \text{при } \bar{s} = \bar{s}_N, \tag{10}$$

где  $G_1$ ,  $G_2$  – заданные прямоугольные матрицы;  $b_1$ ,  $b_2$  – заданные векторы.

В случае условий (7) имеем

$$G_1 = G_2 = \begin{vmatrix} 0 & 1 & 0 & 0 & 0 & 0 \\ 0 & 0 & 1 & 0 & 0 & 0 \\ 0 & 0 & 0 & 1 & 0 & 0 \end{vmatrix} \quad b_1 = b_2 = \begin{vmatrix} 0 \\ 0 \\ 0 \end{vmatrix} \tag{11}$$

При решении системы используется метод сведения краевой задачи к ряду задач Коши. Общий вид решения представляется следующим образом:

$$Y(\bar{s}) = Y_4(\bar{s}) + \sum_{i=1}^3 C_i Y_i(\bar{s}).$$

Здесь  $Y_4(\bar{s})$  – решение задачи Коши для системы уравнений (8) с начальными условиями  $Y_4 = \{0, 0, 0, 0, 0, 0\}$ ;  $Y_i(\bar{s})$  ( $i = 1, 2, 3$ ) – решение трех следующих задач Коши для системы (8) при  $P(\bar{s}) = 0$  с начальными условиями, соответственно:  $Y_1 = \{1, 0, 0, 0, 0, 0\}$ ,  $Y_2 = \{0, 0, 0, 1, 0\}$ ,  $Y_3 = \{0, 0, 0, 0, 0, 1\}$ ;  $C_i$  – компоненты, которые определяются при выполнении граничных условий на правом конце интервала интегрирования (10), (11).

Наличие малого параметра и возможное обращение в ноль или бесконечность коэффициентов системы влечет за собой появление

в решениях системы (8) локализованных быстроменяющихся составляющих. При этом указанный подход может сопровождаться нарастанием погрешностей счета. Может случиться, что нельзя с достаточностью определить постоянные интегрирования  $C_1$  и сами функции [3]. Счет становится неустойчивым, а результат недостоверным. Одним из эффективных методов преодоления указанных трудностей является метод дискретной ортогонализации, предложенный С.И.Годуновым [4]. Суть его сводится к ортогонализации векторов-решений задач Коши в конечном числе точек интервала изменения аргумента. Весь интервал  $[\bar{s}_0, \bar{s}_N]$  разбивается на части точками ортогонализации, выбор которых обусловлен степенью требуемой точности решения задачи.

При интегрировании системы используются варианты метода Рунге-Кутта до четвертого порядка точности с переменным шагом [5]. Контроль точности и выбор шага интегрирования производится путем сравнения приращений искомого вектора  $\mathbf{Y}(\bar{s})$ :

$$\delta_{ij} = \left| (\Delta_i Y_j)^2 - (\Delta_{i+1} Y_j)^2 \right|.$$

Здесь  $i = 1, 2, \dots, 3$ ;  $j = 1, 2, \dots, 6$ ;  $Y_j$  —  $j$ -я компонента вектора приращений  $\mathbf{Y}$ , вычисленная по формуле Рунге-Кутта  $i$ -го порядка точности;  $\epsilon$  — заданная точность интегрирования.

Если  $\delta_{ij} > \epsilon^2$  хотя бы для одного значения  $j$  при  $i=1$ , то вычисляется новое  $\delta_{ij}$  при  $i=3$ . Если и в этом случае  $\delta_{ij} > \epsilon^2$  хотя бы для одного значения  $j$ , то шаг делится пополам, если  $\delta_{ij} < \frac{\epsilon^2}{32}$  для всех  $j$ ,  $i=1$ , то шаг удваивается. В противном случае шаг остается прежним.

### 3. К ВОПРОСУ О РЕАЛИЗАЦИИ ЧИСЛЕННОГО МЕТОДА НА ЭВМ

При численном решении оболочки разбивается на участки, каждый из которых представляет одну из следующих форм: круговая пластина, цилиндр, конус, сфера, круговой тор. Это оправдывает тем, что наиболее распространеными на практике являются именно перечисленные выше формы. Часто встречаются оболочки, составленные из них. Оболочки же вращения произвольного вида могут быть представлены с достаточной точностью при помощи этих же форм.

В некоторых случаях удобно разбивать на участки элементы одной формы, в частности, для выделения участков кусочно-

постоянных параметров жесткостей оболочки, а также участков, требующих увеличенного количества точек ортогонализации. Встречаются оболочки, подкрепленные на отдельных участках меридиана.

Исходная информация определяется по участкам. На каждом  $i$ -том участке должны быть заданы:  $h$ ,  $E$ ,  $\mu$ ;  $R = \sqrt{a^2 + b^2}$  (в случае кругового тора  $R$  — расстояние центра меридианального сечения до оси вращения); угол  $\Theta$ , заданный в начальном и конечной точках меридиана этого участка;  $a$  — характеристики парметр, определенный ниже; закодированная форма оболочки; количество точек ортогонализации; количество ребер; характеристики ребер; ведя нагрузки.

В программе используется пять отдельных подпрограмм вычисления правых частей системы (8) конкретно для каждой формы. Это упрощает эксплуатацию программы, повышает точность и уменьшает время счета. В зависимости от формы оболочки на  $i$ -том участке в подпрограммах заложены следующие законы изменения геометрических параметров.

#### 1. Круговой тор

$$\begin{aligned} \Theta_j(s_j) &= \Theta_{j-1}(s_{j-1}) + \frac{s_j - s_{j-1}}{a}, \quad \Theta_j \equiv \Theta(s_j), \\ Y_j &= R + a \sin \Theta_j, \end{aligned}$$

$$S_i = S_{i-1} + a(\Theta_i - \Theta_{i-1}), \quad \Theta_i \equiv \Theta(s_i),$$

где  $j$  определяет точку на меридиане, в которой вычисляется правая часть системы (8) в процессе интегрирования;  $s_j$  — длина дуги меридиана от его начала до этой точки;  $Y_j$  — расстояние от оси вращения до этой точки;  $S_i$  — длина дуги меридиана от его начала до конца  $i$ -того участка;

$a$  — радиус меридионального сечения тора.

#### 2. Цилиндрическая оболочка

$$\Theta = \pm \frac{\pi}{2}, \quad Y_j = R, \quad S_i = S_{i-1} + a,$$

где  $a$  — длина цилиндрического участка

#### 3. Сферическая оболочка

$$\begin{aligned} \Theta_j &= \Theta_{j-1} + \frac{S_j - S_{j-1}}{a}, \\ Y_j &= a \sin \Theta_j, \\ S_i &= S_{i-1} + a(\Theta_i - \Theta_{i-1}), \end{aligned}$$

где  $\Omega$  - радиус сферы.

#### 4. Коническая оболочка

$$\Theta = \text{const} ,$$

$$Y_j = R + (S_i - S_j) \cos \Theta ,$$

$$S_i = S_{i-1} + \left| \frac{\Omega}{\cos \Theta} \right| ,$$

где  $\Omega + R$  - радиус большего из оснований конуса.

#### 5. Круглая пластина

$$\Theta = 0; \Pi , \quad Y_j = R + S_j , \quad S_i = S_{i-1} + \Omega ,$$

где  $\Omega$  - расстояние от внутреннего круга кольца до внешнего.

#### 4. О достоверности численной реализации метода

В процессе отладки программы использовались тестовые задачи, допускающие аналитическое решение. Программа считалась отлаженной, если разница между аналитическим и численным решением во всех контрольных точках была меньше заданной погрешности. Практически считались допустимыми относительные погрешности, не превышающие 0,1%. Стремиться к большей точности часто не рационально, ибо это существенно увеличивает затраты машинного времени. В сожалении, тестовые задачи не могут служить единственным критерием качества программы, поскольку аналитические решения с гарантированной точностью имеются только для сравнительно простых форм оболочек. Поэтому в программе предусмотрены и другие способы контроля достоверности получаемых результатов. В качестве таких критериев можно использовать различные соотношения, которые зависят от специфики задачи. Наиболее целесообразны с точки зрения механики являются интегральные условия статики произвольно выделенной части оболочки. Аналогично интегральные и дифференциальные условия статики эквивалентны. При численном решении дифференциальных уравнений нарушение интегральных условий статики неизбежно из-за погрешностей счета. Поэтому вычисление погрешностей при выполнении интегральных условий статики является важным средством контроля достоверности результатов численного решения. Рассмотрим некоторые из критерии. Выделим из рассматриваемой оболочки ее произволь-

ную часть посредством трех плоских сечений. Первое сечение осуществляется плоскостью  $A$ , содержащей ось вращения (эта плоскость отсекает половину оболочки). Два других сечения осуществляются плоскостями  $B$  и  $C$ , проходящими перпендикулярно оси вращения через точки меридиана  $S = S_0$ ,  $S = S_N$  соответственно. В частном случае при постоянном давлении уравнения равновесия всех сил, действующих на выделенную часть оболочки в направлениях, ортогональных плоскости  $A$  и плоскостям  $B$  и  $C$ , имеют вид

$$\int_{S_0}^{S_k} T_2 dS + (\sqrt{H_e})_{S=S_k} - (\sqrt{H_e})_{S=S_0} = \frac{1}{2} p F , \quad (12)$$

$$(\sqrt{H_z})_{S=S_k} - (\sqrt{H_z})_{S=S_0} = \frac{p (\sqrt{k^2 - \sqrt{z}})}{2} , \quad (13)$$

где  $F$  - площадь проекции поверхности выделенной части оболочки на плоскость  $A$ ;  $p$  - постоянное давление.

Для замкнутого тора выражение (12) принимает вид

$$\oint T_2 dS = p F ,$$

где  $F$  - площадь меридионального сечения тора.

Еще одно выражение вытекает из третьего уравнения системы (3) при условии, что угол поворота нормали на контурах, отсеченных плоскостями  $B$ ,  $C$ , равен нулю. Оно имеет вид

$$\int_{S_0}^{S_k} z dS = 0 ,$$

используется и другие способы контроля правильности получаемых результатов. Пусть, например, требуется определить напряженно-деформированное состояние длинной тонкой цилиндрической оболочки, защемленной по торцам и нагруженной внутренним давлением. Ясно, что здесь имеется плоскость симметрии, проведенная через середину оболочки перпендикулярно оси вращения. Указанная симметрия в программу не заложена. Поэтому наличие (или отсутствие) уломанной симметрии в численном решении свидетельствует о качестве программы. Поскольку в основу численного метода положена процедура сведения краевых задач к последовательности задач Коши, то расчет

длинной тонкой оболочки этим методом представляется известные трудности. В частном случае цилиндрической оболочки с параметрами  $\frac{a}{R} = 4$ ,  $\frac{h}{R} = 0,02$  упомянутая выше симметрия наблюдается с точностью до 0,01%. Имеется четко выраженный краевой эффект в части оболочки, отстоящей от краев приближительно на  $1/8 a$ . В средней части оболочки реализуется близоментное состояние.

В некоторых случаях для оценки точности полученного решения использовался принцип Рунге, т.е. сравнение решений при различном числе шагов интегрирования (различная точность интегрирования) и точек ортогонализации.

## 5. РАСЧЕТ РАЗНЫХ КАМЕР УСТАНОВОК ТОКАМАК

По разработанной программе рассчитаны три вида камер: гладкий круговой тор, круговой тор с меридиональными ребрами и торообразная оболочка с меридиональными ребрами, поларное сечение которой состоит из цилиндрического, конического и торoidalного участков. Расчетными нагрузками на камеры во всех случаях является атмосферное давление в сочетании с электродинамическими усилиями. В качестве примера приведем результат расчета последнего из указанных вариантов камеры под действием атмосферного давления. Шеридиональные ребра размещены циклически равномерно и имеют одинаковые геометрические и механические параметры. На рис. 1 указаны геометрические параметры оболочки, отнесенные к радиусу цилиндрического участка  $R$ . Относительные параметры ребер имеют величину:  $F_p/R^2 = 0,11$ ;  $I_p/R^4 = 0,034$ ;  $S_p/R^3 = 0,05$ ; параметры оболочки: на цилиндрическом участке  $h/R = 0,034$ , на других участках  $h/R = 0,005$ . Считается, что оболочка и ребра изготовлены из одинакового материала с модулем упругости  $E = 2 \cdot 10^6 \text{ кгс}/\text{см}^2$ .

На рис. 1, 2, 3 в безразмерном виде представлены эпюры меридиональных усилий  $T_1/pR$ , окружных усилий  $T_2/pR$  и изгибающих меридиональных напряжений  $\sigma/p$ . Кривые 1 соответствуют гладкой неорбренной конструкции; кривые 2 – оболочке, подкрепленной 32 ребрами, расположенным на конической и торoidalной частях; кривые 3 – оболочке, которая от начала конической части до точки С имеет 32 ребра, а от точки С до конца торoidalной части 64 ребра. Из приведенных результатов расчета можно сделать следующие выводы:

В области цилиндрического и конического участков возникают значительные изгибные напряжения и внутренние усилия. Введение меридиональных ребер существенно снижает их величину.

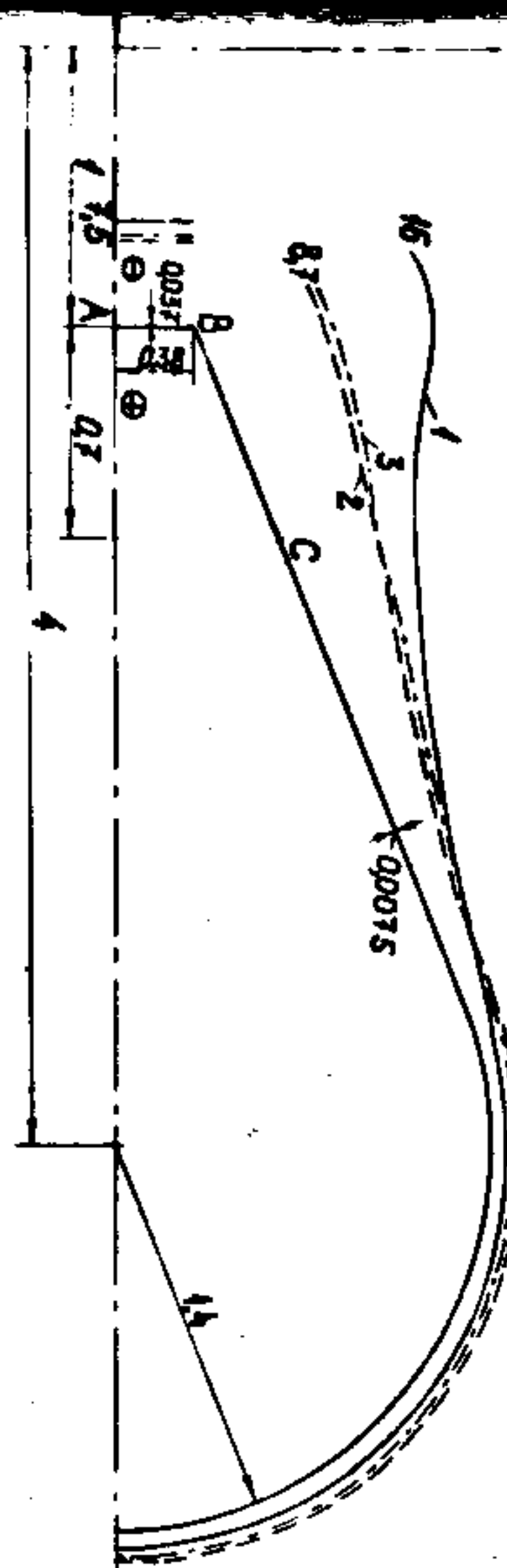


Рис.1. Эпюры меридиональных усилий

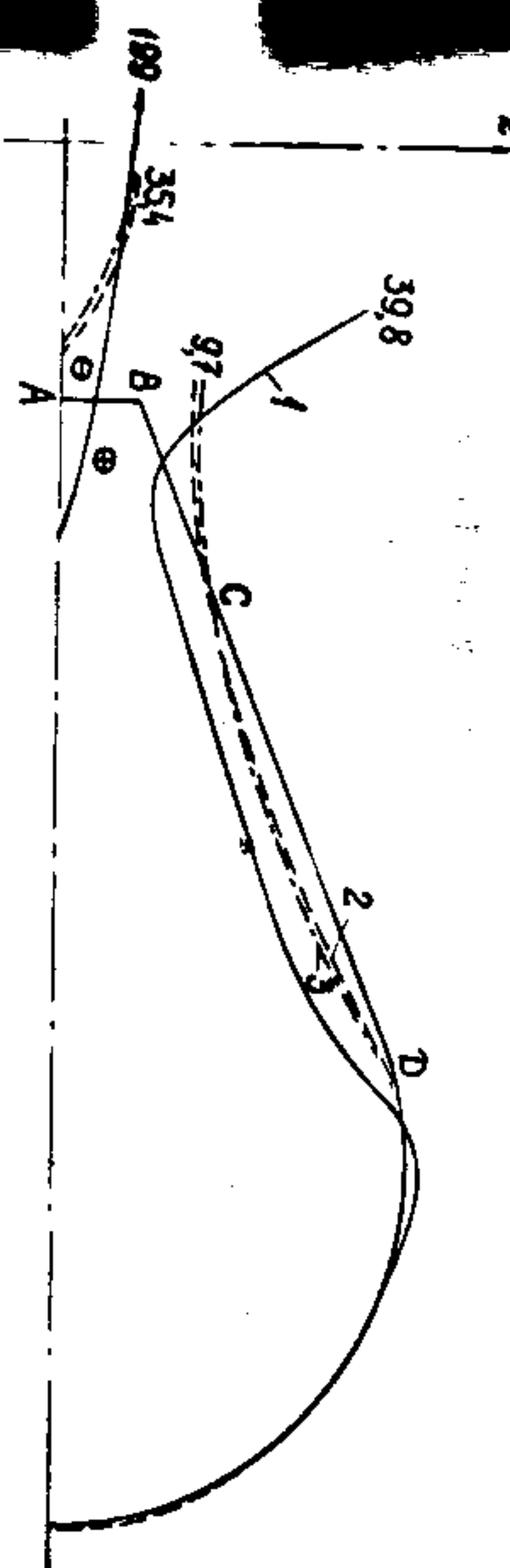


Рис.2. Эпюры окружных усилий

## Л И Т Е Р А Т У Р А

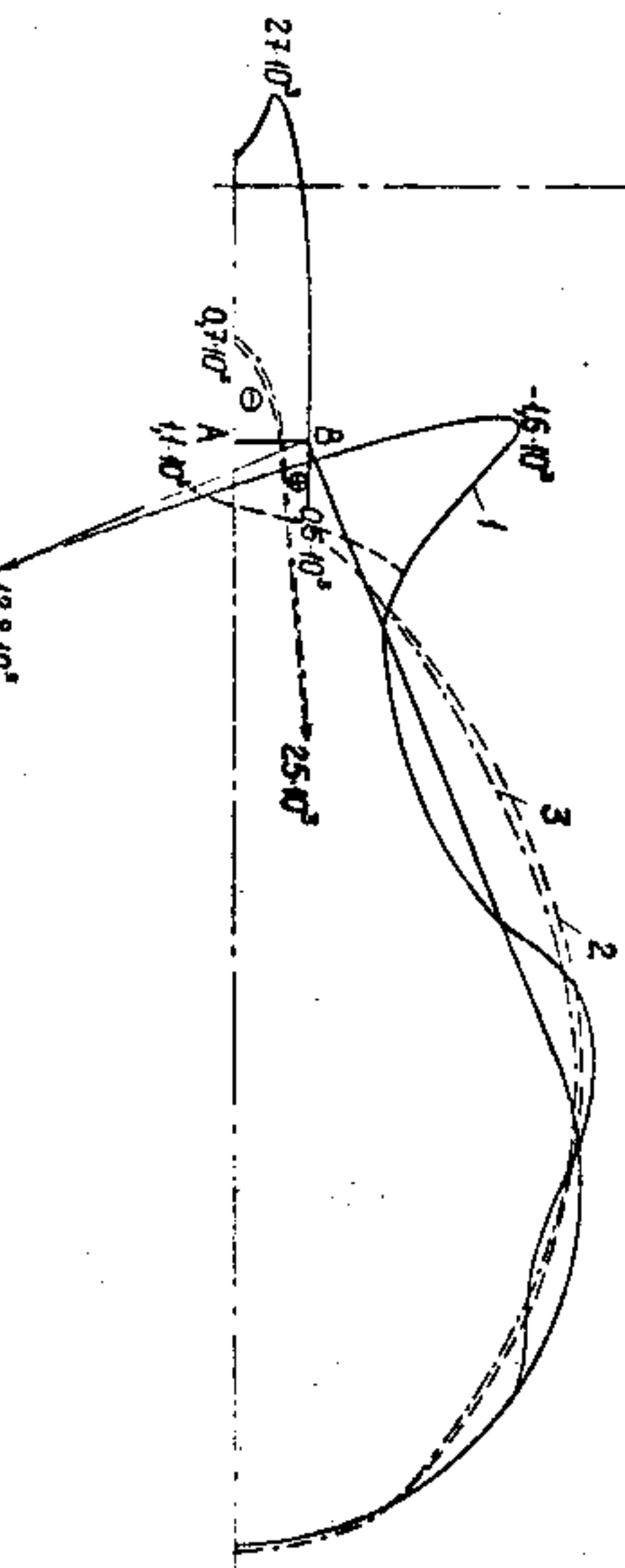


Рис. 3. Задача изгибающих меридиональных напряжений.

Дальнейшего снижения внутренних усилий можно добиться введением радиуса кривизны на стыке цилиндрического и конического участков.

Подкрепление оболочки дополнительными ребрами (кривые 3) существенных изменений в ее напряженное состояние не вносит.

1. Чернина В.С. Статика тонкостенных оболочек вращения. - М.: Наука. 1968.
2. Королев В.И. К расчету подкрепленных пластин и оболочек. - Инженерный сборник, том ХХI. - М.: Изд-во АН СССР, 1958.
3. Григоренко Я.М. Изотропные и анизотропные оболочки вращения переменной жесткости. - Киев: Наукова Думка, 1973.
4. Годунов С.К. О численном решении краевых задач для систем линейных обыкновенных уравнений. - Успехи математических наук, 1961, т. XII, вып. 3.
5. Березин И.С., Жилков Н.П. Методы вычислений. - М.: Наука, 1966.

П.А.Жилин, Р.И.Коновалов, В.А.Дальцов,  
Р.В.Чвартацкий

К РАСЧЕТУ НА ПРЯЖЕНО-ДЕФОРМИРОВАННОГО СОСТОЯНИЯ  
РАЗРЕЗНЫХ КАМЕР УСТАНОВОК ТОКАМАК

Заказ № 220/797. Рукопись поступила на издание 31/УД 1981 г.  
Формат бумаги 60×90/16. Уч.-изд.л.0,7. Отпечатано 140 экз.  
Ротапrint НИИЭДА. Цена 10 коп. Индекс 3624. Т-04055 18/П 1982 г.